

## Вычисление электрической емкости системы проводов круглого и эллиптического сечения и в виде пластин в присутствии проводящей плоскости

© З.М. Наркун

Гродненский государственный университет им. Я. Купалы,  
230023 Гродно, Белоруссия

(Поступило в Редакцию 27 марта 1998 г. В окончательной редакции 30 января 1999 г.)

Предлагается метод вычисления электрических емкостей системы параллельных бесконечно длинных проводов круглого и эллиптического сечения и в виде пластин в присутствии проводящей плоскости. Метод основан на точном построении потенциала электростатического поля. Указан алгоритм получения приближенных расчетных формул. Рассмотрены некоторые частные случаи.

В справочнике [1] приведены приближенные расчетные формулы для вычисления электрических емкостей на единицу длины одно-, двух- и трехпроводных линий параллельных бесконечно длинных проводов круглого сечения в присутствии проводящей плоскости. В настоящей работе эта задача решается для любого конечного числа проводов круглого и эллиптического сечения, и в виде пластин.

Рассматриваемая электростатическая система является плоскопараллельной, поэтому в дальнейшем плоскость, перпендикулярная осям проводов, принимается за координатную плоскость  $xOy$ , а вместо проводов и плоскости рассматриваются окружности, эллипсы, отрезки прямых и прямая, по которым плоскость  $xOy$  пересекает систему проводов.

Все величины с линейными размерами считаются безразмерными, т.е. рассматриваются по отношению к некоторой выбранной единице масштаба. Пусть в полуплоскости  $x < 0$  имеется  $N_1$  окружностей  $\Gamma_j$  радиусов  $R_j$  с центрами в точках  $O_j$ ,  $j = \overline{1, N_1}$  и  $N_2$  ( $N_1 + N_2 = N$ ) эллипсов  $\Gamma_j$  с центрами в точках  $O_j$ ,  $J = \overline{N_1 + 1, N}$ , причем часть эллипсов (или все) может вырождаться в отрезки прямых. Окружности и эллипсы расположены внешним образом по отношению друг к другу и не имеют общих точек ни между собой, ни с осью ординат  $X = 0$ .

Математически задача определения потенциала  $\varphi$  электростатического поля состоит в нахождении в полуплоскости  $x < 0$  и вне  $\Gamma_j$ ,  $j = \overline{1, N}$  (область  $G$ ) решения уравнения Лапласа

$$\Delta\varphi = 0, \quad (1)$$

ограниченного на бесконечности и удовлетворяющего граничным условиям

$$\varphi|_{x=0} = 0, \quad \varphi|_{\Gamma_j} = f_j, \quad j = \overline{1, N}, \quad (2), (3)$$

где  $f_j$  равны нулю или единице в зависимости от вычисляемой емкости.

Для решения задачи обозначим зеркальные отображения кривых  $\Gamma_j$  относительно прямой  $x = 0$  через  $\bar{\Gamma}_j$ ,  $\bar{O}_j$  — образцы центров  $O_j$ . Свяжем с каждой

окружностью  $\Gamma_j$ ,  $\bar{\Gamma}_j$ ,  $j = \overline{1, N_1}$ , локальные декартовы  $x_j O_j y_j$ ,  $\bar{x}_j \bar{O}_j \bar{y}_j$  и полярные  $(\rho_j, \Theta_j)$ ,  $(\bar{\rho}_j, \bar{\Theta}_j)$  координаты, а с каждым эллипсом  $\Gamma_j$ ,  $\bar{\Gamma}_j$ ,  $j = \overline{N_1 + 1, N}$  — локальные декартовы  $x_j O_j y_j$ ,  $\bar{x}_j \bar{O}_j \bar{y}_j$  и эллиптические  $(\mu_j, \vartheta_j)$ ,  $(\bar{\mu}_j, \bar{\vartheta}_j)$  координаты [2], так что в связанных с окружностью  $\Gamma_j$  полярных координатах ее уравнение будет

$$\rho_j = R_j, \quad j = \overline{1, N_1},$$

а в связанных с эллипсом  $\Gamma_j$  эллиптических координатах его уравнение

$$\mu_j = \mu_j^0, \quad \mu_j^0 = \text{const}, \quad j = \overline{N_1 + 1, N}.$$

В частности, если некоторые  $\mu_k^0 = 0$ , то эллипс превращается в отрезок прямой длины  $h_k$ . В дальнейшем учитывается, что полярные оси сонаправлены с осью  $Ox$ , оси  $\bar{O}_j \bar{y}_j$  являются зеркальными отображениями осей  $O_j y_j$ , а оси  $\bar{O}_j \bar{x}_j$  выбираются так, чтобы системы координат  $\bar{x}_j \bar{O}_j \bar{y}_j$  были правыми.

Потенциал  $\varphi$  поля будем искать в виде

$$\begin{aligned} \varphi(M) = & A + \sum_{j=1}^N \left( A_j \ln \frac{1}{\rho_j} + \bar{A}_j \ln \frac{1}{\bar{\rho}_j} \right) \\ & + \sum_{j=1}^{N_1} \sum_{k=1}^{\infty} \left[ (a_k^j \cos k\Theta_j + b_k^j \sin k\Theta_j) \rho_j^{-k} \right. \\ & \left. + (\bar{a}_k^j \cos k\bar{\Theta}_j + \bar{b}_k^j \sin k\bar{\Theta}_j) \bar{\rho}_j^{-k} \right] \\ & + \sum_{j=N_1+1}^N \sum_{k=1}^{\infty} \left[ (a_k^j \cos k\vartheta_j + b_k^j \sin k\vartheta_j) \exp(-k\mu_j) \right. \\ & \left. + (\bar{a}_k^j \cos k\bar{\vartheta}_j + \bar{b}_k^j \sin k\bar{\vartheta}_j) \exp(-k\bar{\mu}_j) \right], \quad (4) \end{aligned}$$

где  $M \in G$  — любая точка;  $(\rho_j, \Theta_j)$ ,  $(\bar{\rho}_j, \bar{\Theta}_j)$  — ее координаты в полярных системах с полюсами  $O_j$ ,  $\bar{O}_j$ ,  $j = \overline{1, N_1}$ ;  $(\mu_j, \vartheta_j)$ ,  $(\bar{\mu}_j, \bar{\vartheta}_j)$  — ее координаты в эллиптических системах координат с центрами  $O_j$ ,  $\bar{O}_j$ ,

$j = \overline{N_1 + 1, N}$ ; коэффициенты подлежат определению из граничных условий и условия на бесконечности.

Подчеркнем, что если в (4) (и в дальнейшем) в сумме по  $j$  верхний индекс меньше нижнего (что будет, если нет окружностей:  $N_1 = 0$ , или нет эллипсов:  $N_2 = 0$ ,  $N = N_1$ ), то соответствующая сумма принимается равной нулю. В дальнейшем также считаются равными нулю величины с индексами, если начальное значение индекса меньше конечного; например,  $A_s = 0$ , если  $s = \overline{1, 0}$ .

Для ограниченности функции (4) на бесконечности и удовлетворения условию (2) достаточно положить

$$A = 0, \quad \bar{A}_j = -A_j, \quad \bar{a}_k^j = -(1)^{k+1} a_k^j,$$

$$\bar{b}_k^j = (-1)^k b_k^j, \quad j = \overline{1, N}, \quad k = 1, 2, \dots$$

Для определения оставшихся коэффициентов  $A_j, a_k^j, b_k^j$  выразим с помощью теорем сложения для разделенных решений уравнения Лапласа в полярных [3], эллиптических [4] системах, где учтено, что оси декартовых координат не обязательно параллельны, и введены новые обозначения и полярных, и эллиптических [2]; все переменные в (4) в локальных координатах, связанных с  $\Gamma_s, s = \overline{1, N}$ . Применим условия (3) и приравняем в получившихся равенствах коэффициенты при функциях  $\cos$  и  $\sin$  от соответствующих аргументов. В результате получим бесконечную систему линейных алгебраических уравнений.

1) Для иллюстрации этой схемы проведем выкладки более подробно в случае одного эллипса. Для произвольно расположенных декартовых координат с различными началами формулы (14) и (15) из [4] запишем в виде

$$\begin{aligned} \exp(-k\mu_1) \cos k\vartheta_1 &= \sum_{\nu=0}^{\infty} \varepsilon_{\nu} \left[ A_{\nu}^{(k)}(\mu_{21}, \vartheta_{21}; h_2/h_1, \alpha_{21}) \right. \\ &\quad \times \operatorname{ch} \nu \mu_2 \cos \nu \vartheta_2 + A_{\nu}^{(k)}(\mu_{21}, \vartheta_{21}; h_2/h_1, \alpha_{21}) \\ &\quad \left. \times \operatorname{sh} \nu \mu_2 \sin \nu \vartheta_2 \right], \quad \mu_2 < \mu_{21}, \end{aligned}$$

$$\begin{aligned} \exp(-k\mu_1) \sin k\vartheta_1 &= \sum_{\nu=0}^{\infty} \varepsilon_{\nu} \left[ A_{\nu}^{(k)}(\mu_{21}, \vartheta_{21}; h_2/h_1, \alpha_{21}) \right. \\ &\quad \times \operatorname{ch} \nu \mu_2 \cos \nu \vartheta_2 - A_{\nu}^{(k)}(\mu_{21}, \vartheta_{21}; h_2/h_1, \alpha_{21}) \\ &\quad \left. \times \operatorname{sh} \nu \mu_2 \sin \nu \vartheta_2 \right], \quad \mu_2 < \mu_{21}, \end{aligned} \quad (5)$$

где

$$\begin{aligned} A_{\nu}^{(k)}(\mu, \vartheta; h, \alpha) &= (-1)^k \sum_{n=0}^{\infty} \sum_{r=0}^{\infty} \frac{k(n+2r+k-1)!(n+\nu+2r+k-1)!}{h^{2r+k} n! (n+\nu)! r! (k+r)! (2r+k-1)!} \\ &\quad \times \exp \left[ -(2n+\nu+2r+k)\mu \right] \\ &\quad \times \cos \left[ (2n+\nu+2r+k)\vartheta + (2r+k)\alpha \right], \end{aligned}$$

$A_{\nu}^{(k)}(\dots)$  получается из  $A_{\nu}^{(k)}(\dots)$  заменой функции  $\cos$  на  $\sin$ ;  $(\mu_i, \vartheta_i)$  — координаты произвольной точки в  $i$ -й эллиптической системе координат, связанной с соответствующей декартовой системой формулами

$$x_i = \frac{1}{2} h_i \operatorname{ch} \mu_i \cos \vartheta_i, \quad y_i = \frac{1}{2} h_i \operatorname{sh} \mu_i \sin \vartheta_i; \quad i = 1, 2,$$

$\mu_{21}, \vartheta_{21}$  — координаты старого начала  $O_1$  в новой системе;  $\alpha_{21}$  — угол между осями  $O_1x_1$  и  $O_2x_2$ , отсчитываемый от оси  $O_1x_1$  против часовой стрелки;  $\varepsilon_0 = 1, \varepsilon_{\nu} = 2$  для  $\nu > 0$ .

Потенциал (4) имеет вид

$$\begin{aligned} \varphi(M) &= A_1 \left( \ln \frac{1}{\rho_1} - \ln \frac{1}{\rho_1} \right) \\ &+ \sum_{k=1}^{\infty} \left[ (a_k^1 \cos k\vartheta_1 + b_k^1 \sin k\vartheta_1) \exp(-k\mu_1) \right. \\ &\quad \left. + (-1)^{k+1} (a_k^1 \cos k\bar{\vartheta}_1 - b_k^1 \sin k\bar{\vartheta}_1) \exp(-k\bar{\mu}_1) \right]. \end{aligned} \quad (6)$$

Для удовлетворения граничному условию на эллипсе  $\Gamma_1$  выразим с помощью формулы (6) из [4]

$$\begin{aligned} \ln \frac{1}{\rho_1} &= \ln \frac{4}{h_2} - \mu_{21} + 2 \sum_{\nu=1}^{\infty} \frac{1}{\nu} \left( \operatorname{ch} \nu \mu_2 \cos \nu \vartheta_{21} \cos \nu \vartheta_2 \right. \\ &\quad \left. + \operatorname{sh} \nu \mu_2 \sin \nu \vartheta_2 \right) \exp(-\nu \mu_{21}), \end{aligned}$$

формул (5) и функции источника в эллиптических координатах [5]

$$\ln \frac{1}{\rho_1} = \ln \frac{4}{h_1} - \mu_1 + 2 \sum_{\nu=1}^{\infty} \frac{1}{\nu} \exp(-\nu \mu_1) \cos \nu \frac{\pi}{2} \cos \nu \vartheta_1,$$

все переменные в (6) — через  $\mu_1, \vartheta_1$ . В результате получим (с учетом принятых обозначений, которые пояснены ниже)

$$\begin{aligned} \varphi(M) &= A_1 \left[ -\mu_1 + 2 \sum_{\nu=1}^{\infty} \frac{1}{\nu} \exp(-\nu \mu_1) \cos \frac{\nu \pi}{2} \cos \nu \vartheta_1 \right. \\ &\quad \left. + \bar{\mu}_{11} - 2 \sum_{\nu=1}^{\infty} \frac{1}{\nu} (\operatorname{ch} \nu \mu_1 \cos \nu \bar{\vartheta}_{11} \cos \nu \vartheta_1 \right. \\ &\quad \left. + \operatorname{sh} \nu \mu_1 \sin \nu \bar{\vartheta}_{11} \sin \nu \vartheta_1) \exp(-\nu \bar{\mu}_{11}) \right] \\ &+ \sum_{\nu=1}^{\infty} (a_{\nu}^1 \cos \nu \vartheta_1 + b_{\nu}^1 \sin \nu \vartheta_1) \exp(-\nu \mu_1) \\ &- \sum_{k=1}^{\infty} (-1)^k a_k^1 \sum_{\nu=0}^{\infty} \varepsilon_{\nu} \left[ A_{\nu}^{(k)}(\bar{\mu}_{11}, \bar{\vartheta}_{11}; 1, \bar{\alpha}_{11}) \operatorname{ch} \nu \mu_1 \cos \nu \vartheta_1 \right. \\ &\quad \left. + A_{\nu}^{(k)}(\bar{\mu}_{11}, \bar{\vartheta}_{11}; 1, \bar{\alpha}_{11}) \operatorname{sh} \nu \mu_1 \sin \nu \vartheta_1 \right] \end{aligned}$$

$$+ \sum_{k=1}^{\infty} (-1)^k b_k^1 \sum_{\nu=0}^{\infty} \varepsilon_{\nu} \left[ A_{\nu}^{s(k)}(\bar{\mu}_{11}, \bar{\nu}_{11}; 1, \bar{\alpha}_{11}) \operatorname{ch} \nu \mu_1 \cos \nu \vartheta_1 - A_{\nu}^{(k)}(\bar{\mu}_{11}, \bar{\nu}_{11}; 1, \bar{\alpha}_{11}) \operatorname{sh} \nu \mu_1 \sin \nu \vartheta_1 \right].$$

Отсюда, удовлетворяя граничному условию  $\varphi(M)|_{\Gamma_1} = \varphi(M)|_{\mu_1=\mu_1^0} = 1$ , в силу единственности разложения в ряд Фурье, получим следующую бесконечную систему линейных алгебраических уравнений:

$$A_1(\bar{\mu}_{11} - \mu_1^0) - \frac{1}{2} \sum_{k=1}^{\infty} (\xi_{0k}^1 A_k^1 - \tilde{\omega}_{0k} B_k^1) = 1,$$

$$\varepsilon_{\nu}^1 A_1 + A_{\nu}^1 - \sum_{k=1}^{\infty} (\xi_{\nu k}^1 A_k^1 - \tilde{\omega}_{\nu k} B_k^1) = 0,$$

$$\tilde{\varepsilon}_{\nu}^1 A_1 + B_{\nu}^1 - \sum_{k=1}^{\infty} (\tilde{\xi}_{\nu k}^1 A_k^1 + \omega_{\nu k}^1 B_k^1) = 0; \quad \nu = 1, 2, \dots, \quad (7)$$

которая получается при  $N_1 = 0, N_2 = 1$  из приведенной ниже системы для произвольных  $N_1$  и  $N_2$ ; там же определены новые переменные и коэффициенты системы.

2) Прделав аналогичные выкладки в общем случае, получим следующую систему:

$$-A_s \ln q_s + \sum_{j=1, j \neq s}^N A_j \ln \frac{\bar{\rho}_{sj}}{\rho_{sj}} + \sum_{k=1}^{\infty} \left[ -A_k^s q_s^k + \sum_{j=1, j \neq s}^{N_1} (\sigma_{0k}^{sj} A_k^j + \tilde{\tau}_{0k}^{sj} B_k^j) + \sum_{j=N_1+1}^N (\alpha_{0k}^{sj} A_k^j + \tilde{\beta}_{0k}^{sj} B_k^j) \right] = f_s.$$

$$A_q(\bar{\mu}_{qq} - \mu_q^0) + \sum_{j=1, j \neq q}^N A_j(\bar{\mu}_{qj} - \mu_{qj}) + \frac{1}{2} \sum_{k=1}^{\infty} \left[ \sum_{j=1}^{N_1} (\gamma_{0k}^{qj} A_k^j + \delta_{0k}^{qj} B_k^j) - \xi_{0k}^q A_k^q + \tilde{\omega}_{0k}^q B_k^q \right. \\ \left. + \sum_{j=N_1+1, j \neq q}^N (\eta_{0k}^{qj} A_k^j + \tilde{\zeta}_{0k}^{qj} B_k^j) \right] = f_q,$$

$$- \frac{1}{\nu} q_s^{\nu} A_s + \sum_{j=1, j \neq s}^N \sigma_{\nu}^{sj} A_j + A_{\nu}^s + \sum_{k=1}^{\infty} \left[ -L_{\nu k} q_s^{\nu+k} A_k^s + \sum_{j=1, j \neq s}^{N_1} (\sigma_{\nu k}^{sj} A_k^j + \tilde{\tau}_{\nu k}^{sj} B_k^j) \right. \\ \left. + \sum_{j=N_1+1}^N (\alpha_{\nu k}^{sj} A_k^j + \tilde{\beta}_{\nu k}^{sj} B_k^j) \right] = 0,$$

$$\sum_{j=1, j \neq s}^N \tilde{\sigma}_{\nu}^{sj} A_j + B_{\nu}^s + \sum_{k=1}^{\infty} \left[ -L_{\nu k} q_s^{\nu+k} B_k^s + \sum_{j=1, j \neq s}^{N_1} (\tilde{\sigma}_{\nu k}^{sj} A_k^j - \tau_{\nu k}^{sj} B_k^j) + \sum_{j=N_1+1}^N (\tilde{\alpha}_{\nu k}^{sj} A_k^j - \beta_{\nu k}^{sj} B_k^j) \right] = 0,$$

$$\varepsilon_{\nu}^q A_q + \sum_{j=1, j \neq q}^N \tau_{\nu}^{qj} A_j + A_{\nu}^q + \sum_{k=1}^{\infty} \left[ \sum_{j=1}^{N_1} (\gamma_{\nu k}^{qj} A_k^j + \delta_{\nu k}^{qj} B_k^j) - \xi_{\nu k}^q A_k^q + \tilde{\omega}_{\nu k}^q B_k^q + \sum_{j=N_1+1, j \neq q}^N (\eta_{\nu k}^{qj} A_k^j + \tilde{\zeta}_{\nu k}^{qj} B_k^j) \right] = 0,$$

$$\tilde{\varepsilon}_{\nu}^q A_q + \sum_{j=1, j \neq q}^N \tilde{\tau}_{\nu}^{qj} A_j + B_{\nu}^q + \sum_{k=1}^{\infty} \left[ \sum_{j=1}^{N_1} (\tilde{\gamma}_{\nu k}^{qj} A_k^j - \delta_{\nu k}^{qj} B_k^j) - \tilde{\xi}_{\nu k}^q A_k^q - \omega_{\nu k}^q B_k^q + \sum_{j=N_1+1, j \neq q}^N (\tilde{\eta}_{\nu k}^{qj} A_k^j - \zeta_{\nu k}^{qj} B_k^j) \right] = 0;$$

$$s = \overline{1, N_1}; \quad q = \overline{N_1 + 1, N}; \quad \nu = 1, 2, \dots, \quad (8)$$

где

$$A_{\nu}^s = a_{\nu}^s R_s^{-\nu}, \quad B_{\nu}^s = b_{\nu}^s R_s^{-\nu}; \quad s = \overline{1, N_1},$$

$$A_{\nu}^q = a_{\nu}^q \exp(-\nu \mu_q^0), \quad B_{\nu}^q = b_{\nu}^q \exp(-\nu \mu_q^0); \quad q = \overline{N_1 + 1, N};$$

$$q_s = \frac{R_s}{2l_s}, \quad L_{\nu k} = \frac{(\nu + k - 1)!}{\nu! (k - 1)!},$$

$l_s$  — расстояние от точки  $O_s$  до прямой  $x = 0$ ;

$$\varepsilon_{\nu}^q = \frac{2}{\nu} \left[ \exp(-\nu \mu_q^0) \cos \nu \frac{\pi}{2} - \exp(-\nu \bar{\mu}_{qq}) \operatorname{ch} \nu \mu_q^0 \cos \nu \bar{\vartheta}_{qq} \right],$$

$$\tilde{\varepsilon}_{\nu}^q = -\frac{2}{\nu} \exp(-\nu \bar{\mu}_{qq}) \operatorname{sh} \nu \mu_q^0 \sin \nu \bar{\vartheta}_{qq},$$

$$\sigma_{\nu}^{sj} = \frac{1}{\nu} \left[ \left( \frac{R_s}{\rho_{sj}} \right)^{\nu} \cos \nu \Theta_{sj} - \left( \frac{R_s}{\rho_{sj}} \right)^{\nu} \cos \nu \bar{\Theta}_{sj} \right],$$

$$\sigma_{\nu}^{sj} = \frac{1}{\nu k} \left[ (-1)^k \left( \frac{R_s}{\rho_{sj}} \right)^{\nu} \left( \frac{R_j}{\rho_{sj}} \right)^k \cos(\nu + k) \Theta_{sj} - \left( \frac{R_s}{\bar{\rho}_{sj}} \right)^{\nu} \left( \frac{R_j}{\bar{\rho}_{sj}} \right)^k \cos(\nu + k) \bar{\Theta}_{sj} \right],$$

$\tau_{\nu k}^{sj}$  получается из  $\sigma_{\nu k}^{sj}$  заменой знака — между слагаемыми на +,

$$\tau_{\nu}^{qj} = \frac{2}{\nu} \left[ \exp(-\nu \mu_{qj}) \cos \nu \vartheta_{qj} - \exp(-\nu \bar{\mu}_{qj}) \cos \nu \bar{\vartheta}_{qj} \right] \operatorname{ch} \nu \mu_q^0;$$

$\tilde{\sigma}_{\nu}^{sj}, \tilde{\sigma}_{\nu k}^{sj}, \tilde{\tau}_{\nu}^{sj}, \tilde{\tau}_{\nu k}^{sj}$  получаются из соответствующих величин без волны заменой  $\cos$  на  $\sin$ ,  $\operatorname{ch}$  на  $\operatorname{sh}$

$$\alpha_{\nu k}^{sj} = R_s^\nu \left[ Lc_{\nu}^{(k)}(\rho_{sj}, \Theta_{sj}; h_j, \alpha_{sj}) - (-1)^k Lc_{\nu}^{(k)}(\bar{\rho}_{sj}, \bar{\Theta}_{sj}; h_j, \bar{\alpha}_{sj}) \right] \exp k \mu_j^0;$$

$\beta_{\nu k}^{sj}$  получается из  $\alpha_{\nu k}^{sj}$  заменой знака — между слагаемыми на +;  $\tilde{\alpha}_{\nu k}^{sj}, \tilde{\beta}_{\nu k}^{sj}$  получаются из соответствующих величин без волны заменой  $Lc_{\nu}^{(k)}(\dots)$  на  $Ls_{\nu}^{(k)}(\dots)$ ; функции  $Lc_{\nu}^{(k)}(\dots), Ls_{\nu}^{(k)}(\dots), Dc_{\nu}^{(k)}(\dots), Ds_{\nu}^{(k)}(\dots)$  определены в [2];

$$\gamma_{\nu k}^{qj} = 2R_j^k \left[ Dc_{\nu}^{(k)}(\mu_{sj}, \vartheta_{qj}; h_q, \alpha_{qj}) - (-1)^k Dc_{\nu}^{(k)}(\bar{\mu}_{qj}, \bar{\vartheta}_{qj}; h_q, \bar{\alpha}_{qj}) \right] \operatorname{ch} \nu \mu_q^0,$$

$$\delta_{\nu k}^{qj} = 2R_j^k \left[ Dc_{\nu}^{(k)}(\mu_{qj}, \vartheta_{qj}; h_q, \alpha_{qj}) + (-1)^k Dc_{\nu}^{(k)}(\bar{\mu}_{qj}, \bar{\vartheta}_{qj}; h_q, \bar{\alpha}_{qj}) \right] \operatorname{sh} \nu \mu_q^0,$$

$$\eta_{\nu k}^{qj} = 2 \left[ Ac_{\nu}^{(k)}(\mu_{qj}, \vartheta_{qj}; h_q/h_j, \alpha_{qj}) + (-1)^k Ac_{\nu}^{(k)}(\bar{\mu}_{qj}, \bar{\vartheta}_{qj}; h_q/h_j, \bar{\alpha}_{qj}) \right] \exp k \mu_j^0 \operatorname{ch} \nu \mu_q^0,$$

$$\zeta_{\nu k}^{qj} = 2 \left[ Ac_{\nu}^{(k)}(\mu_{qj}, \vartheta_{qj}; h_q/h_j, \alpha_{qj}) + (-1)^k Ac_{\nu}^{(k)}(\bar{\mu}_{qj}, \bar{\vartheta}_{qj}; h_q/h_j, \bar{\alpha}_{qj}) \right] \exp k \mu_j^0 \operatorname{sh} \nu \mu_q^0,$$

$$\xi_{\nu k}^q = 2(-1)^k \exp k \mu_q^0 \operatorname{ch} \nu \mu_q^0 Ac_{\nu}^{(k)}(\bar{\mu}_{qq}, \bar{\vartheta}_{qq}; 1, \bar{\alpha}_{qq}),$$

$$\omega_{\nu k}^q = 2(-1)^k \exp k \mu_q^0 \operatorname{sh} \nu \mu_q^0 Ac_{\nu}^{(k)}(\bar{\mu}_{qq}, \bar{\vartheta}_{qq}; 1, \bar{\alpha}_{qq}),$$

$\tilde{\gamma}_{\nu k}^{qj}, \tilde{\delta}_{\nu k}^{qj}, \tilde{\eta}_{\nu k}^{qj}, \tilde{\zeta}_{\nu k}^{qj}, \tilde{\xi}_{\nu k}^q, \tilde{\omega}_{\nu k}^q$  получаются из соответствующих величин без волны, если заменить  $Xc_{\nu}^{(k)}(\dots)$  на  $Xs_{\nu}^{(k)}(\dots)$  и поменять местами  $\operatorname{ch}$  и  $\operatorname{sh}$ ;  $(\rho_{sj}, \Theta_{sj}), (\bar{\rho}_{sj}, \bar{\Theta}_{sj})$  — координаты точек  $O_j, \bar{O}_j$  в полярных координатах с полюсом  $O_s$ ;  $(\mu_{qj}, \vartheta_{qj}), (\bar{\mu}_{qj}, \bar{\vartheta}_{qj})$  — координаты этих же точек в эллиптических координатах с центром  $O_q$ ;  $\alpha_{pr}, \bar{\alpha}_{pr}$  — углы между осью  $O_p x_p$  и соответственно осями  $O_r x_r, \bar{O}_r \bar{x}_r$ , отсчитываемые от последних против часовой стрелки;  $p, r = \overline{1, N}$ .

Так как окружности и эллипсы не имеют общих точек ни между собой, ни с прямой  $x = 0$ , то система (8) обладает вполне непрерывной формой [6] и в силу единственности решения рассматриваемой задачи имеет единственное решение, принадлежащее пространству  $l^2$ ,

которое может быть найдено методом редукции. Из (4) вытекает, что

$$\int_{\Gamma_j} \frac{\partial \varphi}{\partial n} dl = 2\pi A_j; \quad j = \overline{1, N}, \quad (9)$$

т.е. для вычисления любой емкости достаточно знать только коэффициенты  $A_j, j = \overline{1, N}$ . Коэффициенты и свободные члены усеченной системы (минимальной размерности)

$$-A_s \ln q_s + \sum_{j=1, j \neq s}^N A_j \ln \frac{\bar{\rho}_{sj}}{\rho_{sj}} = f_s,$$

$$A_q (\bar{\mu}_{qq} - \mu_q^0) + \sum_{j=1, j \neq q}^N A_j (\bar{\mu}_{qj} - \mu_{qj}) = f_q; \quad s = \overline{1, N_1};$$

$$q = \overline{N_1 + 1, N} \quad (10)$$

полностью и однозначно определяют размеры и взаимное расположение проводов и граничные условия. Система (10) дает возможность определить все коэффициенты  $A_j$ , поэтому естественно ее использовать для приближенного вычисления электрических емкостей.

Подчеркнем, что если  $s = \overline{1, 0}$ , то (10) не содержит первого уравнения; если же  $a = \overline{N_1 + 1, N_1}$  — второго.

3) Рассмотрим некоторые частные случаи.

а)  $N_1 = 1, N_2 = 0$ . В этом случае система (10) примет вид

$$-A_1 \ln q_1 = 1,$$

тогда

$$C_1 \approx 2\pi\epsilon / (2l_1/R_1),$$

что согласуется с [1,(4)–(1)] с учетом свойства емкости [1,(B-18)].

Если же  $N_1 = 0, N_2 = 1$ , то система (10) примет вид

$$A_1 (\bar{\mu}_{11} - \mu_1^0) = 1,$$

тогда

$$C_1 \approx 2\pi\epsilon / (\bar{\mu}_{11} - \mu_1^0),$$

что согласуется с [7,(13)] с учетом того же свойства емкости. Для вычисления  $\bar{\mu}_{11}$  можно использовать указанный в [7] способ.

б)  $N_1 = 1, N_2 = 1$ . Система (10) примет вид

$$-A_1 \ln q_1 + A_2 \ln(\bar{\rho}_{12}/\rho_{12}) = f_1,$$

$$A_1 (\bar{\mu}_{21} - \mu_{21}) + A_2 (\bar{\mu}_{22} - \mu_{22}^0) = f_2. \quad (11)$$

При  $f_1 = 1, f_2 = 0$  (или наоборот) получим

$$C_{12} = C_{21} \approx \pi\epsilon \left[ \mu_{21} - \bar{\mu}_{21} + \ln(\rho_{12}/\bar{\rho}_{12}) \right] / \Delta \quad (12)$$

(так как с помощью системы (11) получаем  $C_{12} \neq C_{21}$ , то здесь взято их среднее арифметическое значение).

При  $f_1 = 1$ ,  $f_2 = 1$  получим

$$C_{10} \approx 2\pi\varepsilon \left[ \ln(\bar{\rho}_{12}/\rho_{12}) - (\bar{\mu}_{22} - \mu_2^0) \right] / \Delta, \quad (13)$$

$$C_{20} \approx 2\pi\varepsilon \left[ \ln q_1 + (\bar{\mu}_{21} - \mu_{21}) \right] / \Delta, \quad (14)$$

где

$$\Delta = (\bar{\mu}_{21} - \mu_{21}) \ln(\bar{\rho}_{12}/\rho_{12}) + (\bar{\mu}_{22} - \mu_2^0) \ln q_1.$$

В частности, если центр окружности находится (в системе  $xOy$ ) в точке  $O_1(-l_1, 0)$ , центр эллипса с полуосями  $a, b$  — в точке  $O_1(-l_2, 0)$ ,  $l_2 > l_1$ , большая ось эллипса перпендикулярна прямой  $x = 0$ , то ( $c = \sqrt{a^2 - b^2}$ )

$$\mu_{21} = \text{Arch} \frac{l_2 - l_1}{c}, \quad \bar{\mu}_{21} = \text{Arch} \frac{l_1 + l_2}{c},$$

$$\bar{\mu}_{22} = \text{Arch} \frac{2l_2}{c}, \quad \mu_2^0 = \text{Arch} \frac{a}{c},$$

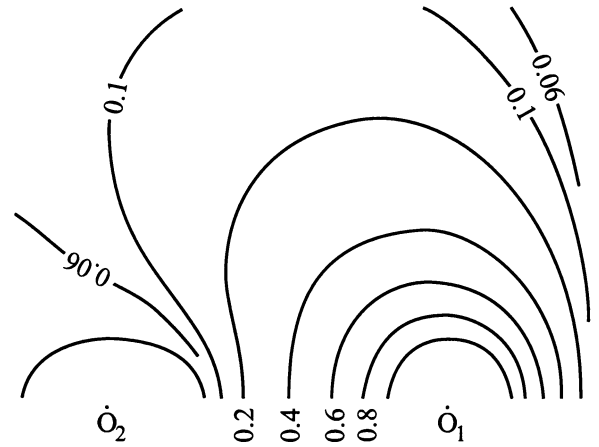
$$\rho_{12} = l_2 - l_1, \quad \bar{\rho}_{12} = l_1 + l_2.$$

Для вычисления погрешности формул (12)–(14) проводился численный эксперимент, состоящий в решении методом редукции системы (8) и сравнении "точного" значения емкости с приближенным. Система (8) в этом случае распадается на две: однородную для  $B_\nu^1$  и  $B_\nu^2$  с нулевым решением и неоднородную для  $A_1, A_2, A_\nu^1, A_\nu^2$ ,  $\nu = 1, 2, \dots$ . В таблице приведены некоторые результаты вычислений в этом частном случае для эллипса с полуосями  $a = 5, b = 3$  и окружности радиуса  $R_1 = 5$  в зависимости от  $l_1$  и  $l_2$ .

$l_1$	$l_2$	Значение $C_{12}/(2\pi\varepsilon)$		Относительная ошибка, %
		"точное"	приближенное	
15.5	36.5	0.207196	0.203787	1.6452
15.5	46.5	0.129713	0.132149	-1.8774
25.5	46.5	0.222773	0.214002	3.9374
25.5	56.5	0.143918	0.143126	0.5500
25.5	66.5	0.107671	0.108142	-0.4381
35.5	56.5	0.232711	0.222177	4.5269
35.5	66.5	0.153371	0.151506	1.2160
35.5	76.5	0.116508	0.116210	0.2554
35.5	86.5	0.094395	0.094538	-0.1518

Отметим, что размерность усеченной системы для получения "точного" решения сильно зависит от взаимного расположения проводов и плоскости. Для получения приведенных в таблице значений с шестью верными знаками после точки достаточно взять десять уравнений, с тремя — пять. Если, например,  $l_1 = 6, l_2 = 17$ , то уже для получения значения с шестью верными знаками после точки нужно взять 38 уравнений.

На рисунке показаны эквипотенциальные линии поля. В силу симметрии линии изображены только для  $y \geq 0$ . Вычисления проведены для  $a = 3, b = 2, R_1 = 2, l_1 = 5, l_2 = 16$ .



Для любых  $N_1$  и  $N_2$  с помощью определителей легко написать приближенную расчетную формулу для вычисления любой емкости аналогично формулам [1, (6)–(21)].

Предложенный метод точного и приближенного вычисления электрических емкостей можно использовать в научной и практической деятельности инженерам и научным работникам различных специальностей.

## Список литературы

- [1] Иосель Ю.Я., Кочанов Э.С., Струнский М.Г. Расчет электрической емкости. Л.: Энергоиздат, 1981. 288 с.
- [2] Наркун З.М. // Дифференциальные уравнения. 1983. Т. 19. № 4. С. 654–660.
- [3] Наркун З.М. // Исследование по математике и физике. Сб. ст. Гродно: Гродненский гос. университет, 1978. С. 144–147.
- [4] Наркун З.М. // Дифференциальные уравнения. 1979. Т. 15. № 2. С. 357–359.
- [5] Морс Ф.М., Фешбах Г. Методы теоретической физики. Т. 2. М.: ИЛ, 1960. 866 с.
- [6] Канторович Л.В., Крылов В.И. Приближенные методы высшего анализа. 5-е изд. М.; Л.: Физматгиз, 1962. 708 с.
- [7] Бойко В.К., Наркун З.М. // Электричество. 1991. № 2. С. 76–78.